

زمین شیمی عناصر نادر خاکی کانی فلوریت در کانسارهای فلوریت البرز مرکزی

قربان وهابزاده^۱، احمد حاکزاد^۲، ایرج رسae^۳ و میر رضا موسوی^۳

۱- استادیار گروه مرتع و آبخیزداری دانشگاه علوم کشاورزی و منابع طبیعی ساری

۲- گروه زمین‌شناسی، دانشگاه آزاد اسلامی، واحد علوم و تحقیقات

۳- گروه زمین‌شناسی، دانشگاه شهید بهشتی، تهران

*Gh.Vahabzadeh@sanru.ac.ir

دریافت: ۹۲/۶/۲۱ پذیرش: ۹۲/۶/۲۱

چکیده

کانی سازی فلوریت در البرز مرکزی در سازندهای الیکا و تیزکوه رخداده و ژنز این کانسارها از اپی‌ژنتیک تا رسوبی- دیاژنتیک در نظر گرفته شده است. بر اساس نتایج حاصله در این تحقیق، کلیه فلوریت‌های رسوبی- دیاژنتیک و اپی‌ژنتیک دارای الگوی به هنجار شده مشابهی بوده و فلوریت اپی‌ژنتیک از انحلال، انتقال و تحرک مجدد فلوریت‌های قبلی (رسوبی- دیاژنتیک) منشاء گرفته‌اند. به دلیل تشابه در الگوی به هنجار شده فلوریت و سنگ میزبان آهکی کانسار امافت (سازند تیزکوه) و عدم تشابه این الگو با سنگ‌های آذرین اطراف کانسار، این عنصر از سنگ آذرین منشاء نگرفته، بلکه از سنگ آهکی میزبان تامین شده است. در کانسار فلوریت کمرپشت مقدار عناصر نادر خاکی به طور مشخصی از رگه فلوریت به هاله دگرسانی و بازالت سالم اطراف زیادتر می‌شود، به طوری که بیشترین مقدار عناصر نادر خاکی در بازالت‌ها و کمترین آن در فلوریت اندازه‌گیری شده است. علاوه بر این، بین الگوی به هنجار شده بازالت، هاله دگرسانی و رگه فلوریت در کانسار کمرپشت تشابه کاملی وجود دارد که میان شستشو و خروج عناصر نادر خاکی از سنگ بازالت به رگه فلوریت است. عدم تشابه در الگوی به هنجار شده شیل‌های سیاه رنگ و ماسه سنگ سازند شمشک و کانی فلوریت منطقه‌می‌رساند که این سنگ‌ها منشاء عنصر فلوریت نبوده‌اند. این نتیجه‌گیری توسط مقدار کم عناصر نادر خاکی در این سنگ‌ها حمایت می‌شود. به دلیل وجود آنومالی منفی Eu و مثبت برای Ce. محیط تشکیل فلوریت در سازند الیکا احیایی بوده است.

واژه‌های کلیدی: عناصر نادر خاکی، کانسار فلوریت، البرز مرکزی.

مقدمه

سنگ میزبان جهت بررسی عوامل فیزیکوشیمیایی تهنشست کانی فلوریت مورد استفاده قرار گرفته است [۲]. از آنجایی که شعاع اتمی عناصر نادر خاکی (REE) به شعاع اتمی عنصر کلسیم نزدیک است، جانشینی اتمی بین آن‌ها به خصوص در دو کانی فلوریت و کلسیت صورت می‌گیرد. بنابراین مطالعه عناصر نادر خاکی به ایزار قوی ژئوشیمیایی جهت تعیین ژنس کانسارهای حاوی این کانی‌ها تبدیل شده است [۶]. چون کانسارهای فلوریت در محیط‌های مختلف زمین‌شناسی یافت می‌شوند، در این مقاله با اندازه‌گیری مقدار REE کانی فلوریت در کانسارهای فلوریت (باریت، سرب و روی) البرز مرکزی، در مورد ویژگی‌های ژئوشیمیایی و محیط تشکیل این کانسارها بحث شده است [۶، ۱۸ و ۱۹]. جنبه‌های مختلف کانسارهای فلوریت البرز مرکزی توسط محققین مطالعه شده‌اند، ولی عناصر نادر خاکی در کانی فلوریت این کانسارها جهت تعیین منشاء آن‌ها تاکنون بررسی

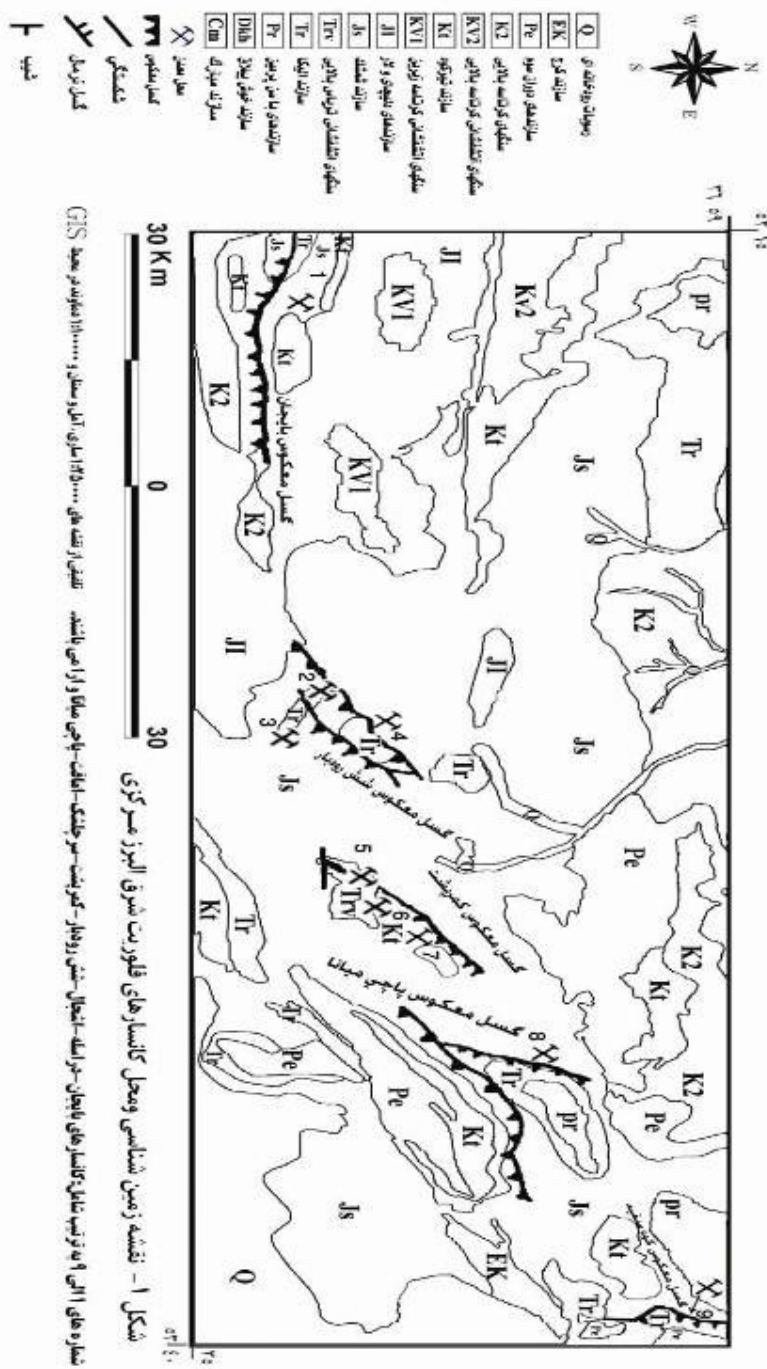
کانی فلوریت دارای ترکیب شیمیایی CaF_2 است. این کانی منبع اصلی عنصر فلوریت بوده و ممکن است به صورت رگه‌ای (به خصوص به همراه کانی‌های فلزی) یافت گردد که در این حالت اغلب بخشی از باطله را تشکیل می‌دهد. این کانی "عمولاً" با گالن، اسفالریت، باریت، کوارتز و کلسیت همراهی می‌شود. فلوریت کانی رایج در کانسارهای هیدروترمالی بوده و به عنوان یک کانی اولیه در گرانیت‌ها و تشکیل دهنده جزئی در سنگ‌های دولومیتی و آهکی می‌باشد. این کانی در محیط‌های مختلف زمین‌شناسی دارای الگوهای ژئوشیمیایی متفاوتی بوده که بیانگر نوع کانسار و سنگ میزبان است. ترکیب عناصر جزئی فلوریت در کانسارهای هیدروترمالی به منظور تشخیص منابع سیال، ارزیابی مکانیسم‌های تهنشست، ارائه مدل‌های رایشی و به عنوان یک ایزار اکتشافی به کار می‌رود. در این مقاله عناصر نادر خاکی کانی فلوریت، سنگ‌های آذرین اطراف کانسارها و

چندین درزه و گسل از ماده معدنی پر گردید. دایک دیابازی محدوده کانسار نیز دارای امتداد درزه‌ها بوده و با رگه‌های فلوریت موازی می‌باشد. مطالعه مقطع نازک دایک بیانگر تجزیه شدید کانی‌ها و تبدیل آن‌ها به کاولینیت و اکسیدهای آهن بوده و لیتولوژی آن دیابازی و کانی‌های اصلی آن آنورتیت، آلبیت، کوارتز و بیوتیت است. کانسارهای کمرپشت و سرچلشک در منتهی‌الی شمال غربی نقشه ۱۰۰۰۰ : ۱ زمین‌شناسی سمنان قرار دارند. در این منطقه سازندهای الیکا، شمشک و هم‌چنین سنگ‌های آتشفسانی از نوع بازالت (ملافیر) به سن تریاس فوکانی - ژوراسیک پایینی رخنمون دارند. عنصر ساختاری منطقه تاقدیس نسبتاً بزرگی است که امتداد کلی آن شمال شرقی - جنوب‌غربی می‌باشد. هسته این تاقدیس از بخش‌های بالایی سازندهای الیکا تشکیل شده که يال جنوبي آن در اثر گسلش حذف گردید و لایه‌های يال شمالی آن شیب تندی در حدود ۷۵ درجه یا بیشتر را به سمت شمال غربی نشان می‌دهد [۴ و ۳]. در محدوده کانسار کمرپشت چندین گسل که کنترل کننده کانسار می‌باشند مشاهده می‌شود. این گسل‌ها به موازات هم و تقریباً روند شمال شرقی و جنوب‌غربی دارند و تمام تونل‌های استخارجی و اکتشافی کانسار فلوریت کمرپشت در امتداد این زون گسلی قرار دارند و از آن پیروی می‌کنند. در ۲/۵ کیلومتری شمال شرقی این محدوده کانسار فلوریت سرچلشک قرار دارد که توسط سازنده غیر رسمی پالند به ضخامت ۸۰ متر با تنابوی از مارن رسی، لاتریت و گچ پوشیده می‌شود. بازالت آلکالن و شیل‌های سیاه سازنده شمشک در محدوده کانسارها دارای تماس گسلی هستند. سنگ میزان کانسار امافت سازنده تیزکوه با سن کرتاسه بالایی بوده که از نظر سنی در مجموعه کانسارهای فلوریت شرق البرز مرکزی یک استثناء به شمار می‌رود. ناودیس بزرگ امافت تحت تاثیر گسل‌های اطراف حالت خمیده به خود گرفته و در راستای محور ناودیس به شدت خرد و خم گردیده به طوریکه حداقل دو محور در این ناودیس قابل تشخیص است که محورهای آن به طور کامل بر هم منطبق نیستند. در اثر وجود نیروی فشاری، شکستگی‌ها و گسل‌های متقطع با محور ناودیس در منطقه به وجود آمد که غالباً از فلوریت پر شده‌اند [۷ و ۸].

نشده است [۸]. کلیه کانسارهای فلوریت البرز مرکزی بجز کانسار امافت در درون سازنده الیکا تشکیل شده‌اند. آهک ورمیکوله مربوط به بخش پایینی سازنده الیکا فاقد کانی‌سازی فلوریت بوده ولی بخش میانی و بالایی این سازنده که کانی‌سازی فلوریت در آن مشاهده می‌گردد، از دولومیت و آهک دولومیتی تشکیل شده است [۳]. در همه‌ی این کانسارها کانی فلوریت غالب بوده، ولی پاراژنرهای دیگر شامل باریت، سرب و روی از یک کانسار به کانسار دیگر تغییر می‌کند. به لحاظ ژئوگرافی فلوریت با اشکال لایه‌ای، عدسی و ریتمیت‌های متببور دیاژنزی (Diagenetic Crystallized Rhytmite) سازنده الیکا را رسوبی - دیاژنتیک با سن تریاس میانی در نظر گرفته‌اند. برای ژخایر رگه‌ای و پرشدگی گسلی و فضای خالی درون سازندهای الیکا و تیزکوه (کانسار امافت) منشاء اپیژنتیک پیشنهاد گردیده و تشکیل آن‌ها را به فاز کوهزایی لارامین (کرتاسه - پالئوسن) نسبت می‌دهند [۴ و ۳].

زمین‌شناسی محدوده کانسارهای فلوریت

منطقه مورد مطالعه با طول جغرافیایی $۱۵^{\circ} ۵۲'$ الی $۱۵^{\circ} ۵۳'$ و عرض جغرافیایی $۳۶^{\circ} ۵۹'$ الی $۳۶^{\circ} ۵$ در شرق البرز مرکزی حد فاصل جاده‌های هراز در غرب و ساری - دامغان در شرق قرار دارد. در این منطقه ۹ کانسار فلوریت درون سازنده الیکا به صورت زنجیره‌ای در طول نوار باریکی به طول ۱۵۰ کیلومتر پراکنده‌اند که از غرب به شرق به ترتیب شامل بایجان (جنوب آمل)، دراسله، اشچال و شش روبار، کمرپشت، سرچلشک، امافت (جنوب سوادکوه)، پاچی میانا و اراء در جنوب ساری واقع شده‌اند (شکل ۱) [۴]. ساختمان زمین‌شناسی کانسار فلوریت بایجان شامل تاقدیسی است که در هسته آن سازنده الیکا بیرون زدگی دارد. در محدوده کانسار فقط بخش‌های بالایی سازنده الیکا که متشکل از آهک و دولومیت ضخیم لایه است رخنمون دارد. راندگی بایجان از جنوب کانسار عبور نموده و دارای امتداد تقریباً شرقی - غربی است. به نظر می‌رسد که این گسل دارای عملکرد چپ‌گرد بوده و با زاویه‌های مختلف درزه‌ها و گسل‌های متقطع با امتداد راندگی بایجان ایجاد کرده است. امتداد کلی آن‌ها شمال‌غرب - جنوب‌شرق بوده [W45N] و از نوع نرمال هستند [۱]. در محدوده کانسار



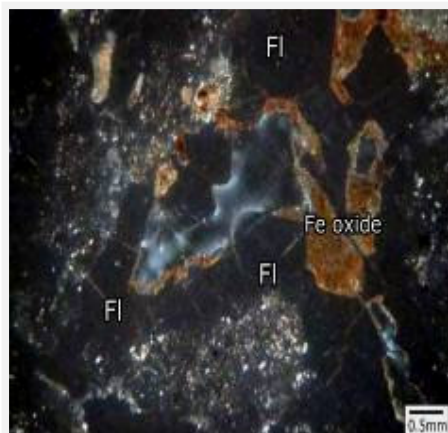
بینوکولار در زیر میکروسکوپ جدا شدند. نمونه‌های اختیاری برای تجزیه عناصر REE به شرکت Amdel در کشور استرالیا ارسال گردید. نمونه‌ها با استفاده از مخلوط و ترکیب ۴ اسید هضم (*digest*) شدند و سپس سیلیکات‌ها به وسیله اسید هیدروفلوریک منهدم گردیده و انحلال فلزات به صورت پرکلایت و کلراید & perchlorate chloride انجام شده است. عناصر موجود محلول به

روش مطالعه و تجزیه عناصر

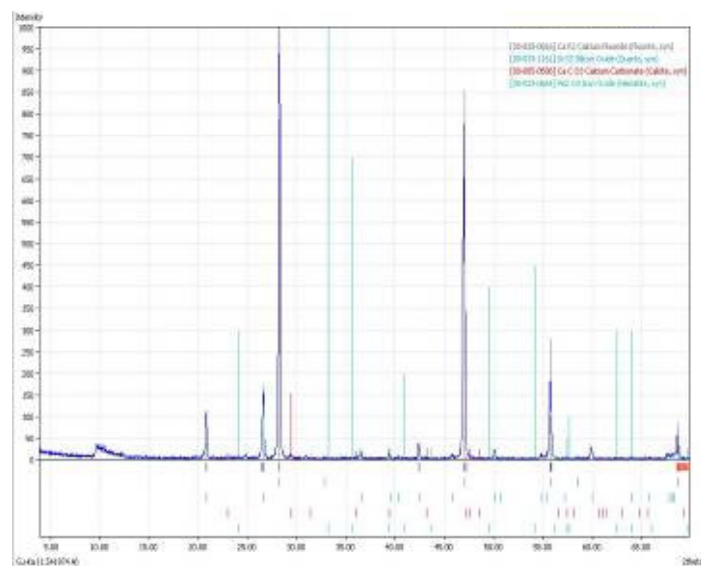
جهت بررسی ویژگی‌های ژئوشیمیائی کانسارهای فلوریت منطقه تعداد ۲۰ نمونه فلوریت از رنگ‌های مختلف، سنگ میزبان، هاله دگرسانی و توده‌های ماقمایی انتخاب شدند. برای حذف آلودگی‌های احتمالی در فلوریت، ابتدا آن‌ها با اسید ۱۰٪ HCl نرمال به مدت ۲۴ ساعت شستشو داده شده و سپس در آون به مدت چند ساعت خشک گردیدند. نمونه‌های خالص فلوریت پس از خشک شدن با

کمک میکروسکوپ نور انعکاسی و روش XRD نیز کانی‌ها شناسایی شده‌اند. شکل‌های ۲ و ۳ به ترتیب شناسایی کانی فلوریت را با روش‌های میکروسکوپی و XRD نشان می‌دهند.

وسیله ICP-MS اندازه‌گیری شده‌اند. نتایج تجزیه در جدول ۱ نشان داده شده است. مقدار عناصر نادر خاکی (REE) نمونه‌ها نسبت به کندریت بهنجار شده‌اند [۱۲]. سپس الگوی بهنجار شده این عناصر و نیز اشکال به کمک نرم‌افزار Excel ترسیم شده‌اند. علاوه بر این، به



شکل ۲. تصویر میکروسکوپی شامل قطعات برشی با کانی فلوریت و اکسید آهن در فضای خالی، نور PPL.



شکل ۳. نمونه‌ایی از گراف XRD جهت شناسایی کانی فلوریت کانسar امافت.

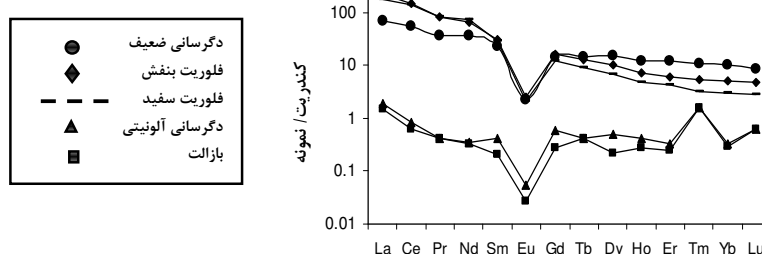
شکل ۴ الگوی بهنجار شده عناصر نادر خاکی فلوریت و سنگ‌های اطراف کانسar کمرپشت نسبت به کندریت را نشان می‌دهد [۱۲]. همانگونه که از شکل ۴ پیدا است روند تغییرات عناصر نادر خاکی در نمونه سفید و بنفش کانسar کمرپشت کم و بیش به یکدیگر شبیه بوده و فلوریت‌های بنفش رنگ از REE کمی غنی‌تر هستند. بر اساس جدول ۱ مجموع مقدار REE نمونه فلوریت بنفش ۲/۲ ppm و برای سفید ۱/۶۵ ppm می‌باشد. الگوی

الگوی تغییرات عناصر نادر خاکی در کانی فلوریت و سنگ‌های اطراف کانسar کمرپشت ۵ نمونه از کانسar کمرپشت و سنگ‌های اطراف انتخاب گردید. ویژگی‌های این نمونه‌ها به همراه نتایج تجزیه در جدول ۱ آمده است. نمونه‌ها از بازالت غیر دگرسان، کمی دگرسان شده، شدیداً دگرسان شده، فلوریت بنفش و فلوریت سفید رنگ درون سازند الیکا انتخاب شده‌اند.

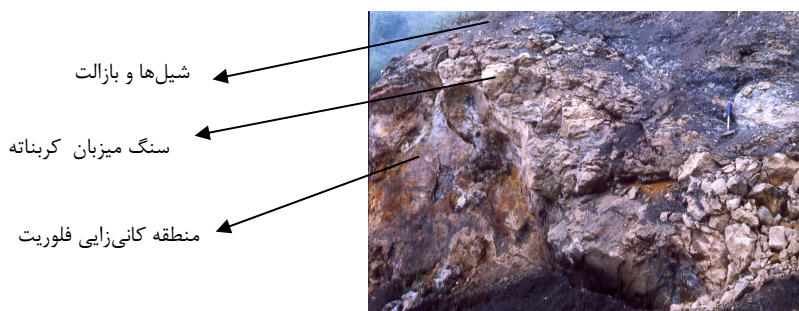
احیایی بودن شرایط تهشیست کاسنگ فلوریت است. زیرا Ce⁴⁺ در محیط اکسیدی و قلیائی، عنصر Ce به صورت CeO₄ تبدیل شده و در این حالت با تشکیل CeO₄ فاز پایدار تشکیل داده و از محیط خارج شده و دارای آنومالی منفی شود. بنابراین عدم آنومالی منفی Ce مبین محیط احیایی و اسیدی می‌باشد. آنومالی منفی عنصر Nd مبین منشاء قاره‌ای و پوسته‌ای بوده ولی در کانسار کمرپشت این عنصر آنومالی منفی ندارد، در نتیجه این عنصر دارای عنصر آنومالی منفی ندارد، در نتیجه این عنصر دارای منشا عمقی بوده و از بازالت منطقه شسته شده و چون مقدار جابجایی عناصر نادر خاکی زیاد نبوده، آنومالی مشخص ایجاد نشده است. عنصر Gd دارای آنومالی مثبت ضعیفی بوده که در همه نمونه‌ها قابل مشاهده است. بر عکس عنصر Yb در دو نمونه فلوریت آنومالی منفی مشخصی را نشان می‌دهد که با آنومالی منفی Eu سازگار است. این حالت می‌تواند تایید دیگری بر حالت احیایی محیط و دمای کم محیط تشکیل فلوریت باشد [۱۰]. وجود کانه‌های سولفیدی گالن، پیریت (پیریتی شدن) و اسفالریت نیز وجود چنین شرایطی را محقق می‌سازند. این شرایط احتمالاً ناشی از وجود سازنده‌های احیایی مانند شیل‌های سیاه رنگ شمشک و یا بازالت‌های وسیع محدوده کانسار بوده که در ترکیب شیمیایی کانه‌ها نقش ایفا نموده‌اند [۱۹]. علاوه بر این مجموع مقادیر عناصر نادر خاکی سبک (LREE) از جمع مقدار عناصر نادر خاکی سنگین HREE در هر نمونه بیشتر بوده که نشان می‌دهد سیال کانه‌ساز از منشاء خود چندان دور نشده و از فلوریت‌های قبلی رسوبی-دیاژنتیک و یا بازالت اطراف کانسار (کانسار کمرپشت) تأثیر پذیرفته است [۲۲ و ۱۷]. شکل ۵ ارتباط کانه‌سازی فلوریت با سنگ‌های اطراف را در کانسار کمرپشت نشان می‌دهد.

بهنجار شده REE نمونه‌های بازالت، هاله دگرسانی ضعیف و هاله شدیداً دگرسان شده آلونیتی دارای روند نسبتاً موازی هستند. علاوه بر این مقدار عناصر نادر خاکی آن‌ها نسبت به فلوریت‌ها حدود ۲۵۰ برابر غنی‌تر می‌باشد. از طرف دیگر الگوی بهنجار شده عناصر REE کانی فلوریت، سنگ بازالت و هاله دگرسانی مشابه می‌باشند. این مشابه، نشانه خروج عناصر REE از بازالت و اضافه شدن آن‌ها به سیال کانی‌ساز و هاله دگرسانی است [۲۳ و ۵].

نکته مهم دیگری که از روی الگوی بهنجار شده به دست می‌آید، بی‌هنجری شدید منفی Eu است که اصولاً در تمام اشکال کم و بیش دیده می‌شود. آنومالی منفی عنصر Eu (یوروپیوم) نشان می‌دهد که این عنصر در محیط احیایی یا در حرارت بالا وارد شبکه کربیستالی فلوریت شده و به حالت آکسایش دو ظرفیتی در درون سیال کانه‌ساز وجود داشته است [۱۰]. بنابراین می‌توان گفت که سیال گرمابی حالت احیایی و کاهشی (Eh پایین) داشته و فوگاسیته اکسیژن در سیال کانه‌ساز پایین بوده است. با توجه به اینکه عنصر یوروپیوم در بازالت‌های اطراف کانسار به صورت احیایی^۳ Eu^{۳+} وجود داشته و توسط سیال کانه‌ساز حمل شده، لذا آنومالی منفی آن در فلوریت طبیعی است. چون در چنین محیطی Eu^{۳+} فراوان بوده و شعاع کاتیونی این عنصر ۱۷ درصد بیشتر از Eu^{۲+} بوده و به شعاع اتمی عنصر استرانسیوم (Sr) نزدیک می‌شود و در این حالت نمی‌تواند جانشین کاتیون کلسیم Ca^{۲+} شود و به همین دلیل این دسته از فلوریت‌ها آنومالی منفی از خود نشان می‌دهند [۱۱ و ۱۵]. عنصر سریم Ce هیچگونه آنومالی منفی از خود ارائه نمی‌دهد که شاهد دیگری بر فوگاسیته کامکسیژن و



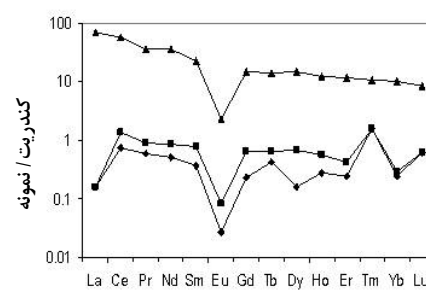
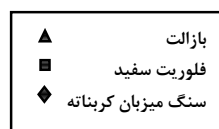
شکل ۴. الگوی بهنجار شده عناصر نادر خاکی فلوریت و سنگ‌های اطراف کانسار کمرپشت نسبت به کندریت [۱۲].



شکل ۵. کنتاكت شیل‌ها و بازالت با سنگ میزبان فلوریت در کانسار کمرپشت.

مانند سایر کانسار به ترتیب دارای آنومالی مثبت و منفی هستند [۳]. آنومالی عنصر یوروپیوم و نسبت ثابت بقیه عناصر (جدول ۲) در الگوهای بهنجار شده نشان می‌دهند که این کانسار با کانسار فلوریت کمرپشت تحت شرایط فیزیکو-شیمیائی نسبتاً ثابت و مشابهی تشکیل گردیده و از یک محلول گرمابی به وجود آمده‌اند. تفاوت مشاهده شده در دو کانسار فوق احتمالاً به پدیده‌های محلی زمین‌شناسی مثل بازالت و شیل‌های سیاه اطراف کانسار مربوط است. روند الگوی بهنجار شده عناصر نادر خاکی Ce در کانسار سرچلشک حاکی از مثبت بودن اندک است، اگرآنومالی عنصر Ce مثبت باشد به این معنی است که آب‌های جوی نقشی در سیال کانی‌سازی نداشته‌اند. زیرا این آب‌ها دارای عنصر Ce کم بوده و در اثر واکنش با سنگ میزبان و یا هنگام تهنشینی فلوریت، آن‌ها نیز دارای آنومالی منفی می‌شوند [۲۰]. این نتیجه دور از انتظار نیست، زیرا عنصر Eu دارای آنومالی منفی و بیانگر محیط احیایی در هنگام تهنشینی فلوریت است. بر اساس این داده‌ها و نیز دگرسانی کاٹولینیتی موجود، محیط تشکیل فلوریت در هنگام تهنشینت باید دارای PH اسیدی و Eh احیایی باشد که در این شرایط عنصر Ce به صورت Ce^{+3} بوده و چون دارای حلایت بیشتری نسبت به Ce^{+2} است، وارد شبکه کریستال فلوریت شده و جانشین Ca می‌گردد و به همین دلیل دارای آنومالی مثبت می‌باشد [۱۳].

الگوی تغییرات عناصر REE در کانی فلوریت و سنگ میزبان آهکی اطراف کانسار سرچلشک یک نمونه از سنگ میزبان کربناته، و یک نمونه از فلوریت سفید رگه‌ای انتخاب و مقدار عناصر نادر خاکی آن‌ها اندازه‌گیری شده‌اند (جدول ۱). شکل ۶ الگوی بهنجار شده عناصر نادر خاکی فلوریت و سنگ‌های اطراف کانسار سرچلشک نسبت به کندریت را نشان می‌دهد [۱۲]. نمونه بازالت کانسار کمرپشت برای مقایسه در این شکل نیز آورده شده است (شکل ۶). همانطور که از این شکل برمی‌آید، روند عناصر نادر خاکی سبک به طرف عناصر نادر خاکی سنگین دارد. سنگ میزبان کربناته و فلوریت به لحاظ الگوی REE مشابه هستند. فلوریت در مجموع از عناصر REE نسبت به سنگ میزبان غنی‌تر و از بازالت فقری‌تر می‌باشد. در این کانسار برخلاف کمرپشت مجموع LREE فلوریت تفاوت محسوسی با HREE ندارد و این نشان می‌دهد که فلوریت کانسار سرچلشک از سنگ بازالت محدوده تأثیر نپذیرفته و یا تأثیر کمی پذیرفته است. شواهد صحرایی بر خلاف کانسار کمرپشت عدم تماس کانی‌زایی فلوریت با سنگ بازالت را نشان می‌دهد. همانطور که در بخش زمین‌شناسی ذکر شد سازند پالند با ضخامت حدود ۸۰ متر روی سازند الیکا را پوشانده و هیچگونه تماس صحرایی بین این سازند و بازالت‌های محدوده این کانسار وجود ندارد. دو عنصر Tm و Eu به



شکل ۶. الگوی بهنجار شده عناصر نادر خاکی فلوریت و سنگ‌های اطراف کانسار سرچلشک نسبت به کندریت [۱۲].

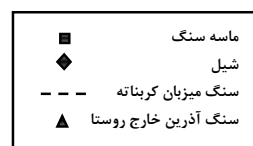
مقایسه الگوی نرمالیز شده نمونه سنگ آذرین خارج رostatی امافت نسبت به نمونه آذرین داخل رosta (اطراف کانسار) فقیرشده‌گی نشان می‌دهد که ممکن است بیانگر تفریق در مآگمای سازنده این توده دیابازی با توجه به عمق تشکیل آن‌ها باشد. زیرا این نمونه‌ها در ارتفاع مختلف و در فاصله چند صد متری انتخاب شده‌اند. مقدار عناصر REE سنگ میزبان کانسار فلوریت امافت (سازنده تیزکوه) در مقایسه با ماسه‌سنگ و شیل سازنده شمشک کمتر بوده که با الگوی جهانی REE این سنگ‌ها تطبیق می‌نماید [۱۰]. عنصر Eu در هر سه نمونه از فلوریت دارای آنومالی منفی بوده که از این نظر با الگوی REE فلوریت‌های دو کانسار سرچلشک و کمرپشت مشابه است. عنصر Tm مانند دو کانسار دیگر دارای آنومالی مثبت می‌باشد و Ce نیز آنومالی منفی نشان نمی‌دهد. مقدار کل REE نیز مانند دو کانسار فوق کم است. علاوه بر این وجود فلوریت‌های درشت خوش وجه یا یوهدرال (Euhehedral) از عالم تبلور مجدد و یا ناشی از انحلال و رسوب‌گذاری دوباره فلوریت بوده که در کانسار امافت و یا در زون‌های گسلی سایر کانسارهای فلوریت منطقه کم و بیش دیده می‌شود (شکل‌های ۹ و ۱۰). این ویژگی‌ها نشان می‌دهند که فلوریت این کانسار احتمالاً از تحرک مجدد فلوریت نسل اول (رسوبی- دیاژنیکی) سازنده الیکا که به صورت عدسی، لایه‌ای یا ریتمیت تبلور دیاژنزی (DCR) تشکیل گردیده، به وجود آمدند. نسل دوم کانسارهای فلوریت یا اپیژنیک در البرز مرکزی در اثر انحلال و تحرک مجدد فلوریت‌های نسل اول و سپس نهشت دوباره آن‌ها در فضای خالی سازنده‌های کربناته به خصوص الیکا و تیزکوه در فاز کوهزایی لaramین با سن کرتاسه- پالئوسن تشکیل شده است. [۱۴ و ۲۱].

شکل‌های ۷ و ۸ نشان می‌دهند که تشابهی بین الگوی بهنجار شده عناصر REE کانی فلوریت و سنگ‌های آذرین، ماسه‌سنگ و شیل‌های سیاه رنگ سازنده شمشک اطراف کانسار دیده نمی‌شود. این عدم تشابه می‌رساند که عناصر REE فلوریت از این سنگ‌ها منشا نگرفته‌اند. این نتیجه‌گیری توسط مقدار کم عناصر نادر خاکی در این سنگ‌ها حمایت می‌شود. علاوه بر این محققین دیگر نشان داده‌اند که فلوئور نمی‌تواند از ماسه‌سنگ‌ها و شیل‌ها منشا بگیرد [۱۵]. بر عکس بین آنومالی Eu, Tb, Dy, Lu و Tm نمونه‌های فلوریت و سنگ میزبان کم

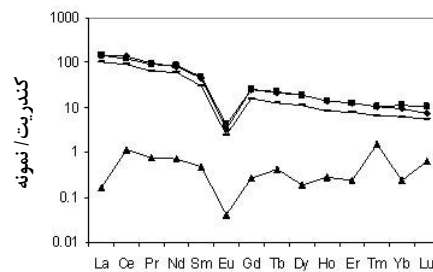
الگوی تغییرات عناصر نادر خاکی کانی فلوریت و سنگ‌های آهکی اطراف کانسار امافت

این کانسار در سازنده تیزکوه تشکیل گردیده که نسبت به سایر کانسارهای البرز مرکزی که در سازنده الیکا قرار دارند، جوان‌تر است. برای بررسی بیشتر و تعیین نقش سایر سازنده‌های رسوبی و آذرین اطراف کانسار از همه آن‌ها نمونه‌برداری به عمل آمده و مورد تجزیه و تحلیل قرار گرفته‌اند. از ترانشه‌های ۱، ۵ و کارگاه کردها هر کدام یک نمونه، از بخش ماسه‌سنگی و شیلی سازنده شمشک هر کدام یک نمونه و از توده دیابازی اطراف کانسار امافت ۲ نمونه و از سنگ میزبان نیز یک نمونه انتخاب گردید (جدول ۱). شکل‌های ۷ و ۸ الگوی بهنجار شده عناصر نادر خاکی فلوریت و سنگ‌های اطراف کانسار امافت را نسبت به کندریت نشان می‌دهند [۱۲]. همانگونه که از جدول ۱ و شکل‌های فوق الذکر بر می‌آید، عناصر نادر خاکی در سنگ‌های دیابازی منطقه حدود ۳۰۰ برابر نسبت به نمونه کندریت غنی شده‌اند که شبیه الگوی بهنجار شده عناصر نادر خاکی سنگ‌های آذرین متوسط در سایر نقاط جهان است [۱۷ و ۲۳]. غنی‌شده‌گی LREE نسبت به HREE و یا شبیه مثبت الگو کاملاً در سنگ‌های حاوی الیوین و پلازیوکلاز مشخص است؛ به خاطر شرایط نسبتاً احیایی محیط، Eu^{+2} با شبکه پلازیوکلاز سازگار و معمولاً ضریب تفریق بالای یک داشته و به همین دلیل دارای آنومالی مثبت است، اما در اینجا بر عکس بوده و Eu آنومالی منفی را نشان می‌دهد. این موضوع به تجزیه این سنگ‌ها بر می‌گردد که شواهد صحرایی و میکروسکوپی بیانگر تجزیه شدید کانی‌های مافیک و تبدیل آن‌ها به کلسیت، کلریت، کانی‌های فلزی و سایر کانی‌های ثانویه است. بنابراین عنصر Eu که معمولاً در پلازیوکلاز جمع می‌شود، از سیستم خارج شده و به همین دلیل آنومالی آن منفی است [۲۰]. در مقطع نازک این سنگ‌ها نیز کانی‌های پلازیوکلاز، اولیوین یا پیروکسن سالم شناسایی نشده است. مشابهت الگوی بهنجار شده این سنگ‌ها و بازالت‌های محدوده کانسار کمرپشت، فاصله نزدیک آن‌ها، فراوانی‌های مشابه عناصر REE و نیز جوان‌تر بودن این توده‌ها، به علاوه وجود دایک‌های با ترکیب متوسط که توده بازالتی را قطع کرده‌اند، این فرضیه را تداعی می‌کند که توده‌های ماغمایی منطقه امافت و کمرپشت احتمالاً از یک ماغمایی مادر منشاء گرفته‌اند [۱۱].

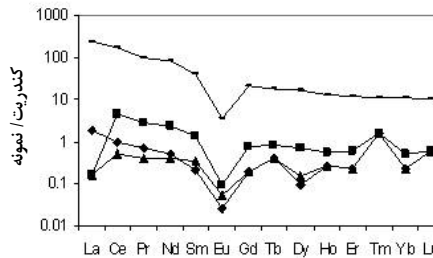
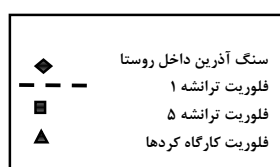
ذخایر رسوی- دیازنتیک فلوریت صورت گرفته است. اگرچه چنین استنباطی نیاز به تجزیه شیمیایی بیشتری از کلیه سازندها در محدوده همه کانسارها دارد، اما در چهارچوب داده‌های موجود این نتیجه‌گیری منطقی به نظر می‌رسد. چنین مکانیسمی برای تشکیل کانسار فلوریت ماتوپرتو (Mato preto) با سن کرتاسه پیشنهاد شده که از تحرک مجدد کانسارهای فلوریت وجود آمده است [۲۲]. نظر به اینکه بر اساس جدول ۱ LREE بیشتر از HREE در کانسار امافت بوده، می‌توان نتیجه گرفت که سیال گرمابی از منشاء خود خیلی دور نشده است [۱۱ و ۱۴]. شواهد صحرایی نیز مبنی این موضوع می‌باشند، زیرا در جنوب شرق این کانسار لایه‌های بالایی الیکا حاوی فلوریت در فاصله ۳۰۰ متری از آن در دره کنگلو واقع شده‌اند و این با فرض منشاء عنصر فلوریت از لایه‌های بالایی الیکا تطابق دارد.



و بیش مشابهت وجود دارد. این ممکن است نشان‌دهنده خروج عناصر REE از سنگ میزبان و اضافه شدن به سیال کانی‌ساز باشد. در این صورت بخشی از REE فلوریت این کانسار از سنگ میزبان تامین شده اگرچه بیشتر آن‌ها از ذخایر فلوریت سازنده الیکا منشاء گرفته‌اند. این نتیجه‌گیری با مطالعات ایزوتوپ اکسیژن و کربن که برای همین منطقه انجام شده است مطابقت دارد [۸]. طبق این مطالعات با نزدیک شدن به رگه فلوریت ترکیب ایزوتوپی اکسیژن و کربن سبک‌تر و با فاصله گرفتن از آن این ترکیب سنگین‌تر می‌شود. علاوه بر این هیچگونه کانی‌زایی سولفیدی بخصوص گالن حتی به مقدار بسیار کم در این کانسار شناسایی نشده، در حالی که نشان داده شده که اگر سیال کانی‌زا از سازنده شمشک تاثیر پذیرفته باشد، باید مانند کانسارهای کمرپشت و اراء حاوی گالن در حد اقتصادی باشد [۸]. پس می‌توان نتیجه گرفت که تحرک مجدد عنصر فلوریت در سازنده الیکا و بخصوص از



شکل ۷. الگوی بهنجار شده عناصر نادر خاکی سنگ‌ها اطراف کانسار فلوریت امافت نسبت به کندریت [۱۲].



شکل ۸. الگوی بهنجار شده عناصر نادر خاکی فلوریت‌ها و سنگ آذرین اطراف کانسار امافت نسبت به کندریت [۱۲].

فلوریت موزه‌ای



شکل ۹. بلور درشت فلوریت خوشوجه یا یوهدرال (Euheredral) باتبلور مجدد و خاصیت موزه‌ای در کانسار امافت.

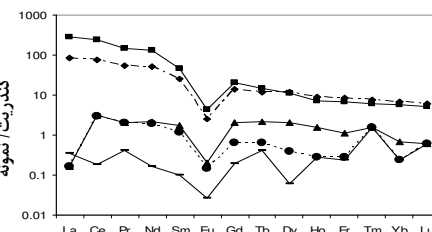
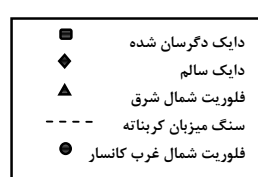


شکل ۱۰. تصویر میکروسکوپی از درزه و فلوریت اپی‌زنیک با سیلیسی شدن سنگ میزبان در کانسار امافت. بزرگنمایی ۴ برابر نور XPL

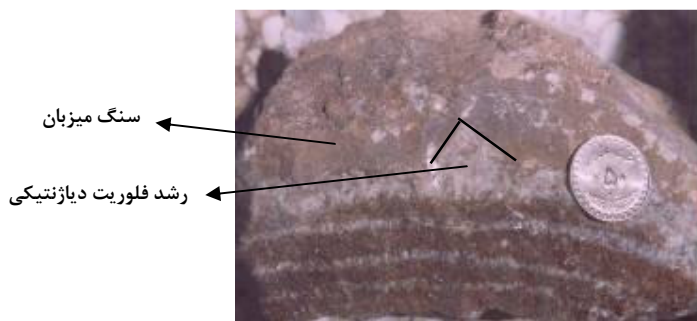
سنگ میزبان وجود نداشته و تقریباً مساوی هستند. علاوه بر این‌ها الگوی دایک هیچگونه آنومالی برای عناصر Yb و Gd از خود نشان نمی‌دهند، ولی همین عناصر برای دو نمونه فلوریت دارای آنومالی مشخص هستند. عنصر Ce نیز در نمونه‌های فلوریت و سنگ میزبان دارای آنومالی مثبت بوده که به همراه آنومالی منفی Eu محیط احیایی و فوگاسیته کم را نشان می‌دهند و آنومالی آن‌ها با هم مطابقت دارند. آنومالی عناصر از جمله Yb, Nd و Gd در هر دو نمونه فلوریت دیازنیکی (شکل ۱۲) و اپی‌زنیکی مشابه و به لحاظ REE مقدارشان کم بوده و مانند سایر الگوهای فلوریت در کانسارات مختلف می‌باشد. این ویژگی‌ها نشان می‌دهند که فلوریت گسلی از تحرك مجدد فلوریت دیازنیکی به وجود آمده که همزمان با گسلش و نفوذ دایک به محدوده کانسارت بوده است [۱۹، ۲۱ و ۲۵]. در نمونه‌های فلوریت آنومالی مثبت بوده که با فلوریت‌های روسی - دیازنیک متفاوت است. دلیل آن احتمالاً اثرپذیری کم ترکیب فلوریت از دایک محدوده کانسارت است. زیرا Nd مثبت منشاء عمقی و مانگمایی دارد [۱۳]. وجود کربیستانهایی با بافت شکری، انحلال و رسوب‌گذاری دوباره فلوریت و یا تبلور مجدد فلوریت را نیز قوت می‌بخشد [۱۱ و ۱۳]. وجود بنظمی در الگوی فلوریت جنوب کانسارت که به دایک نزدیکتر است می‌تواند دلیل بعدی بر تأثیرپذیری از سیال ناشی از دایک باشد [۲۳]. شکل ۱۲ نمونه‌ایی از فلوریت با بافت ریتمیت‌های متبلور دیازنی (DCR) را نشان می‌دهد.

الگوی تغییرات عناصر نادر خاکی کانی فلوریت و سنگ‌های آهکی اطراف کانسارت بایجان

۲ نمونه از کانی فلوریت، ۲ نمونه از دایک محدوده کانسارت و ۱ نمونه از سنگ میزبان آهکی انتخاب شده و عناصر نادر خاکی آن‌ها مورد تجزیه قرار گرفتند. (جدول ۱). شکل ۱۱ الگوی بهنجار شده عناصر نادر خاکی فلوریت و سنگ‌های اطراف کانسارت بایجان را نسبت به همین عناصر در کندریت نشان می‌دهد [۱۲]. دو نمونه‌ی متعلق به دایک نسبت به بقیه عناصر دارای بیشترین فراوانی REE بوده و مقدار آن‌ها بین ۲۰۰-۳۰۰ برابر استاندارد کندریت اندازه‌گیری شده است. فراوانی این عناصر در دایک‌ها با خاطر وجود کانی پلازیوکلاز طبیعی به نظر می‌رسد [۱]. زیرا ضریب تفکیک Eu^{+2} برای پلازیوکلاز در سنگ‌های بازیک تا متوسط بیشتر از یک است. الگوی دایک دگرسان شده مشابه الگوی بهنجار شده دایک سالم بوده و می‌توان گفت با آن موازی بوده، ولی مقدار کل REE آن کمتر است. این موضوع نشان می‌دهد که بخشی از دایک که دگرسانی هیدروترومالی را تحمل کرده تا حدودی از REE خالی گشته و به جای دیگر مهاجرت نمود. الگوی بهنجار شده فلوریت و سنگ میزبان نسبت به الگوی REE نمونه‌های دایک، نزدیکی و مشابهت بیشتری دارند، به عبارت بهتر الگوی نرمالیز شده دو نمونه فلوریت و سنگ میزبان، هم به لحاظ مکانی (کمی) و هم به لحاظ شکل (کیفیت) به هم نزدیک و هر دو از الگوی نرمالیز شده دایک فاصله دارند. مقدار LREE در دایک از HREE بیشتر ولی این نسبت در فلوریت و



شکل ۱۱. الگوی بهنجار شده عناصر نادر خاکی کانی فلوریت و سنگ‌های اطراف کانسارت بایجان نسبت به کندریت [۱۲].



شکل ۱۲. نمونه‌ایی از فلوریت دیاژنتیکی با بافت DCR و رشد فلوریت به درون سنگ میزان کربناته.

کانسارهای فلوریت منطقه اتفاق افتاده است. درجه تفكیک را می‌توان از روی نسبت Tb/La محاسبه کرد. اگر این نسبت پایین باشد درجه تفكیک کم و اگر زیاد باشد درجه تفكیک بالا است. به عبارت دیگر نمونه‌های با نسبت بالای Tb/La از سیالی با تحول بیشتری متبلور شده‌اند. زیرا عنصر Tb نماینده $HREE$ و La نماینده $LREE$ است در جدول ۲ نسبت Tb/La برای نمونه‌های فلوریت محاسبه شده است. با توجه به اینکه فرایند تفریق باعث تمرکز عناصر REE در سه مرحله متفاوت می‌گردد.

- ۱- تمرکز ترجیحی عناصر نادر خاکی سبک $LREE$ در مراحل اولیه تبلور
- ۲- توزیع تقریباً یکسان عناصر سبک و سنگین در مرحله میانی تبلور
- ۳- غنی‌شدن ترجیحی عناصر نادر خاکی سنگین در مراحل پایانی تبلور

مقدار کم این نسبت در جدول ۲ که در شکل ۱۳ و الگوی بهتخار شده کلیه فلوریت‌ها آمد، مبين چیرگی نسبی عناصر $LREE$ بر $HREE$ بوده و این نشان می‌دهد که تشکیل فلوریت در مراحل اولیه تا میانی تبلور رخداده است. فاصله نزدیک فلوریت روسی-دیاژنتیکی با فلوریت‌های اپی‌زنตیک در کانسارها تاییدی بر این بوده که سیال گرمابی از منشاء چندان دور نشده و در اولین فرصت در درزها و شکاف‌های گسلی نزدیک به منشاء متبلور شده است. زمانی که نسبت Tb/La متغیر و نسبت Tb/Ca نسبتاً ثابت باشد در این حالت پدیده تحرک مجدد عناصر (Remobilization) اتفاق می‌افتد و نشان می‌دهد که فلوریت با انحلال و رسوب‌گذاری دوباره یا در اثر تبلور مجدد از فلوریت‌های قبلی به وجود آمده‌اند [۲۱، ۲۲ و ۲۳]. مولفه افقی توزیع نقاط در شکل ۱۳ می‌رساند که پدیده تحرک مجدد نیز در این کانسارها رخ

Tb/La (Tb/Ca)

نسبت Tb/Ca کانی فلوریت معرف محیط شیمیایی و نهشت کانسنگ و نسبت Tb/La (REE/LREE) بیانگر میزان تفریق (Fractionation) محیط تشکیل کانسار می‌باشد و در نتیجه از این نسبت‌ها می‌توان در مشخص کردن منشاء نهشت‌های فلوریت استفاده نمود. بطور کلی نسبت بالای Tb/Ca در پگماتیت‌ها و نسبت پایین در فلوریت‌های با منشاء رسوبی که عناصر REE آن‌ها از آب اقیانوس‌ها و دریاهای منشاء گرفته‌اند. دیده می‌شود. فلوریت‌های با منشاء گرمابی دارای غلظت متوسطی از REE بوده و Tb/Ca در آن‌ها حدوداً دو محیط فوق الذکر است تغییرات Tb/La به Tb/Ca در مقایسه با شیمیایی شامل پگماتیت، گرمابی و رسوبی را از یکدیگر متمایز می‌کند. در این حالت نسبت Tb/La در مقایسه با نسبت Tb/Ca دارای تغییرات بیشتری بوده و توزیع نقاط به صورت مایل است که توسط فلش تفكیک مشخص می‌شود [۹، ۱۹ و ۲۴]. این نسبت‌ها برای فلوریت‌های منطقه شرق البرز مرکزی محاسبه و در شکل ۱۳ نشان داده شده است. همانگونه که مشاهده می‌شود بجز یک نمونه، کلیه نمونه‌ها در محدوده رسوبی و گرمابی قرار می‌گیرند. این حالت با مقادیر ناچیز عناصر نادر خاکی در نمونه‌های فلوریت که مبين منشاء رسوبی- دیاژنتیک می‌باشد سازگار است. علت اینکه بیشتر نمونه‌ها در محدوده رسوبی قرار گرفته این است که سیال گرمابی سنگ‌آهک یا دولومیت را جانشین کرده و در این حالت نسبت Tb/Ca تا حد زیادی کاهش یافته و فلوریت‌های ایجاد شده از این راه به جای فلوریت‌های گرمابی فلوریت‌های رسوبی را نشان می‌دهند [۵ و ۲۴]. وجود بافت جانشینی حاصل از جانشینی فلوریت در سنگ‌آهک میزان نشان می‌دهد که پدیده هضم در

اپیزنیک از تحرک دوباره فلوریت رسوی- دیازنیکی در اثر فاز کوهزایی لارامین با سن کرتاسه بالایی- پلئوسن منشاء گرفته است [۴۲ و ۴۳].

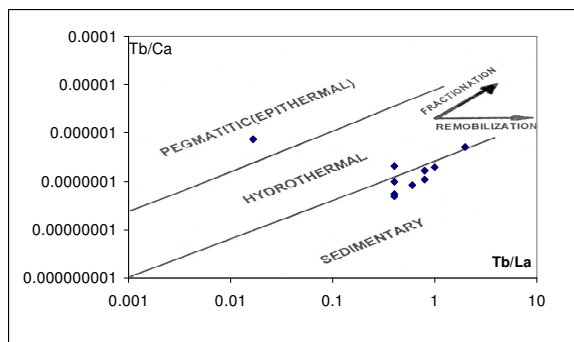
داده است. اگر از فلوریت با کمترین نسبت Tb/La به فلوریتی با بیشترین Tb/La فلش رسم کنیم این فلش می‌تواند بیانگر اندازه تحرک مجدد فلوریت باشد. این پیوستگی و ارتباط نشان می‌دهد که فلوریت‌های

جدول ۱. نتایج تجزیه عناصر نادر خاکی کانی فلوریت، مقادیر بر حسب ppm

نمونه‌ها	<i>La</i>	<i>Ce</i>	<i>Pr</i>	<i>Nd</i>	<i>Sm</i>	<i>E u</i>	<i>Gd</i>	<i>Tb</i>	<i>Dy</i>	<i>Ho</i>	<i>Er</i>	<i>REE</i>	<i>Tm</i>	<i>Yb</i>	<i>Lu</i>	<i>L REE</i>	<i>H REE</i>	
امافت کارگاه																		
کردها	/۰۵	/۴۲	/۰۵	/۲۵	/۰۷	/۰۴	/۰۵	/۰۲	/۰۵	/۰۲	/۰۲	۱/۱۹	/۰۵	/۰۵	/۰۲	/۸۸	/۳۱	
ترانشه ۱	/۰۵	۲/۶۵	/۳۵	۱/۴۹	/۲۶	/۰۷	/۲	/۰۴	/۲۳	/۰۴	/۱۳	۶/۶۹	/۰۶	/۱۱	/۰۲	۵/۸۷	/۸۲	
سنگ آزین داخل روستای امافت	۳۲	۲۷/۶	۸/۰۲	۳۶/۳	۵/۹۸	۱/۸	۳/۹۷	/۶	۳/۵۱	/۵۸	۱/۶۱	۱۶/۶۷	/	۱/۸۳	/۱۸	۱۵۶/۷	۱۲	
سنگ آزین پیرون امافت	۷۰	۱۳۸	۱۱/۸	۵/۰/۲	۷/۵۹	۲	۵/۴۸	۱/۸۷	۵/۱۸	/۹	۲/۰۴	۲۹۸/۲	/۳۷	۲/۱۴	/۳۴	۲۸۶/۱	۱۸	
فلوریت	/۵۹	/۷۸	/۰۹	/۳۱	/۹۴	/۰۲	/۰۵	/۹۲	/۰۳	/۰۲	/۰۵	۲/۱۲	/۰۵	/۰۵	/۰۲	/۱۸۳	/۳	
ماسه سنگ	۴۶	۱۰۸	۱۱/۵	۴۹/۷	۸/۸۳	۲	۶/۴۱	۱	۶/۱۷	۱	۲/۰۶	۲۴۶/۲	/۳۳	۱/۷	/۲۴	۲۲۶/۱	۱۹/۸	
شیل	۴۴	۹۶/۶	۱۱/۱	۵۰/۷	۹/۳۶	/۹۵	/۰۱	/۰۶		/۰۱		۲/۰۲	۲۳۵/۲	/۳۴	۲/۳۶	/۳۳	۲۱۴/۷	۲۰/۵
پایجان دایک آلتره	۲۷	۶۰/۳	۶/۵	۳۰/۳	۴/۹۵	۱/۹	۳/۶۸	۰/۷	۳/۷۲	/۶۴	۱/۷۷	۱۴۳/۲	/۲۴	۱/۴۶	/۲	۱۳۰/۹	۱۲/۳	
فلوریت ابی																		
زنگنه	/۰۵	۲/۴۹	/۲۵	۱/۱۲	/۳۳	/۱۵	/۰۴	/۱	/۰۷	/۱۱	/۱۳	۶/۴۵	/۰۵	/۱۴	/۰۲	۴/۵۹	/۱۸۶	
سنگ میزان	/۰۵	۷/۶	/۲۵	۱/۱۶	/۲۲	/۱۱	/۱۷	/۰۳	/۱۳	/۰۲	/۰۶	۴/۷	/۰۵	/۰۵	/۰۲	۴/۲	/۰۳	
فلوریت دیازنیک	/۱۱	/۱۵	/۰۵	/۱	/۰۲	/۰۲	/۰۵	/۰۲	/۰۲	/۰۲	/۰۵	/۷۳	/۰۵	/۰۵	/۰۲	/۴۵	/۲۸	
دایک سالم	۸۷	۱۹۲	۱۷/۶	۷۷/۱	۹/۲۲	۲	۵/۱۵	/۶۹	۳/۵۵	/۵۱	۱/۴۴	۳۹۹/۱	/۲	۱/۲۱	/۱۷	۲۸۶/۱	۱۲/۹	
- کمر پشت -																		
آلتراسیون ضعیف	۶۷	۱۲۹	۹/۹	۳۹/۳	۶/۰۱	۱	۴/۰۶	/۶	۲/۸۲	/۵	۱/۲۷	۲۲۵/۲	/۱۷	۱/۰۷	/۱۵	۲۴۴	۱/۱۱	
فلوریت سفید	۴۷	۱۵۱	۱/۵	۱۲	۱/۹۴	/۰۲	/۰۷	/۱۲	/۰۷	/۰۲	/۰۵	۱/۶۵	/۰۵	/۰۶	/۰۲	۱/۲۹	/۳۶	
فلوریت بنفش	/۵۷	/۱۸	/۰۵	/۲۱	/۰۸	/۰۴	/۱۵	/۰۲	/۱۶	/۰۳	/۰۷	۲/۲	/۰۵	/۰۷	/۰۲	۱/۶۳	/۵۷	
آلتراسیون الونیت	۵۴	۱۱۰	۱۰/۲	۴۳/۶	۵/۶۵	۱	۳/۲۱	/۴۳	۲/۲۳	/۳۴	۱/۸۷	۲۳۲/۸	/۱	۱/۶۲	/۰۹	۲۴۴/۹	۷/۹	
بازالت	۲۱	۴۵/۴	۴/۴	۲۱/۴	۴/۴۲	۱	۳/۷۳	/۶۷	۴/۸۲	/۸۹	۲/۴۶	۱۱۳/۶	/۳۴	۲/۱۳	/۲۷	۹۸/۳	۱۵/۳	
سرچلشک سنگ میزان	/۰۵	/۹۴	/۰۹	/۹۳	/۰۹	/۰۳	/۰۷	/۰۷	/۰۲	/۰۶	/۰۲	۲/۹۷	/۰۵	/۰۵	/۰۲	۱/۶۳	/۳۴	
سنگ میزان	/۰۵	/۶۱	/۰۷	/۳۱	/۰۷	/۰۲	/۰۶	/۰۷	/۰۲	/۰۵	/۰۲	۱/۴۵	/۰۵	/۰۵	/۰۲	۱/۱۳	/۳۲	
فلوریت	/۰۵	۱/۰۷	/۱۱	/۰۱	/۱۵	/۰۶	/۱۷	/۰۳	/۲۲	/۰۴	/۰۹	۲/۶۳	/۰۵	/۰۶	/۰۲	۱/۹۵	/۶۸	

جدول ۲. نسبت‌های $\frac{Tb}{La}$ برای نمونه‌های منطقه.

شماره نمونه	نمونه کانسار	Tb/Ca	Tb/La
۱	بایجان	$5 E^{-0.7}$	۲
۲	سرچلشک	$8 E^{-0.8}$	۰.۱۶
۳	اشچال عدسی شکل	$7 E^{-0.7}$	۰.۰۱۷
۴	امافت- ترانشه ۱	$2 E^{-0.7}$	۰.۱۸
۵	اراء	$2 E^{-0.7}$	۱
۶	DCR شش رود بار	$2 E^{-0.7}$	۰.۱۴
۷	پاچی میانا عدسی شکل	$6 E^{-0.8}$	۰.۱۴
۸	کانسار امافت کارگاه کردها	$1 E^{-0.7}$	۰.۱۴
۹	لایه اشچال	$5 E^{-0.8}$	۰.۱۴
۱۰	لایه ۲ اشچال	$1 E^{-0.7}$	۰.۱۸

شکل ۱۳. تغییرات Tb در برا بر تغییرات $\frac{Tb}{La}$ برای فلوریت‌های منطقه.

۴- بخش اصلی فلوریت اپی‌زنیکی از انحلال و انتقال

فلوریت رسوبی- دیازنیکی سازند لیکا منشاء گرفته‌اند.

۵- محیط تهنشست فلوریت احیایی بوده که توسط

آنومالی منفی Eu و آنومالی مثبت Ce تایید می‌شود.

۶- مشابهت الگوی به هنجاری عناصر نادر خاکی در

سنگ‌های آذرین منطقه، یکی بودن منشاء آن‌ها را قوت

می‌بخشد.

منابع

- [۱] اسماعیلی، ج (۱۳۸۱) اکتشاف مقدماتی کانسار فلوریت-باریت بایجان، شرق هراز. پایان‌نامه کارشناسی ارشد دانشگاه آزاد اسلامی، ۱۱۱ ص.

نتیجه‌گیری

بر اساس آنچه که در سطور بالا ذکر شده، می‌توان نتایج زیر را ارائه نمود.

۱- فلوریت بنفس نسبت به فلوریت سفید از عناصر نادر خاکی غنی‌تر است.

۲- مقدار عناصر نادر خاکی از زون فلوریت به هاله دگرسانی و بازالت زیاد می‌شود. به عبارت دیگر سیال کانی‌ساز مقداری از عناصر فوق را از سنگ بازالت شسته و خارج نموده است.

۳- شیل‌ها و ماسه‌سنگ‌های منطقه نقشی در تامین عنصر نادر خاکی فلوریت نداشته‌اند.

- [15] Eppinger. R. Gand-Closs. L.G (1990) Variation of trace elements and REE in fluorite. A possible tool for exploration Econ.geol.,85 :1896-1907
- [16] Everett.C.E,Rye.C.E Ellam.R. M (2003) source or sink?An Assessment of the role the old red sandstone in the genesis of the Irish Zn-Pb deposits,Econ.Geol, 98:31-50
- [17] Fleisher; M (1969) The lanthanide elements in fluorite. Indian Mineralogist , 10: 36-39
- [18] Moller,p., schulz.s and Jacob K.H (1980) Formation of fluorite in sedimentary basin,chem.Geol, 30:97-11
- [19] Moller, p., Parekh .p Schneider H.J (1976) The application of Tb/Ca-Tb/La abundance ratios to problems of fluorspar genesis, Mineral Deposita, 11:111-116
- [20] Rollinson.H. (1993) Using geochemical data: evalution. Presentation, interpretation. Longman Group, U.K,413 p
- [21] Ronchi. L.H. Touray, J-C. Michard, A Dardenne M.A (1993) The Ribeira Fluorite district, southern Brazil ,Mineral Deposita, 28: 240-252.
- [22] Santos.r.V., Dardenne. M.A Oliveira. C.G (1996) Rare earth elements geochemistry of fluorite from the mato-preto carbonatite complex,southern Brazil, Mineral Deposita ,26: 81-86
- [23] Sasmas. A. Yaruz. F Akgul. B (2005) Geochemical Patterns of the Akdagmadeni (Turkey) fluorite deposits and implications, J. A. E. science, 274: 469-479
- [24] Sizaret, S. Marcoux, E., Jebrak. M. Touray. J (2004) The Rossignol fluorite vein, chaillae, France, multiphase Hydro thermal Activity and Intravein sedimentation Eco. Geol, 99: 1107- 112
- [25] Subias ,I.Recio.Fanlo, I .Fernandez-Nieto.C (1995) Hydrothermal events in the Valdedetena (Spanish Western Pyrenees) as evidenced by fluid inclusion and trace – element distribution from fluorite deposits. Chemical Geology ,124: 254-267
- [۲۱] احیا، ف (۱۳۹۰) زمین‌شیمی عناصر نادر خاکی در کانی فلوریت کانسار بزیجان (چکاپ)، استان مرکزی. مجله زمین‌شناسی کاربردی پیشرفت، شماره ۲، جلد ۱، ۱۲۵، ۱-۱۱۳.
- [۲۲] اصغرپور، ح (۱۳۸۵) زمین‌شناسی کانی‌شناسی و ژنرال کانسار فلوریت کمر پشت. پایان‌نامه کارشناسی ارشد، دانشگاه آزاد اسلامی ۱۲۲
- [۲۳] علیرضایی، س (۱۳۶۶) پژوهشی در چینه‌شناسی و چگونگی پیدایش کانسارهای فلوریت، سرب و باریوم در تریاس شرق البرز مرکزی. پایان‌نامه کارشناسی ارشد دانشگاه تهران، ۹۷ ص.
- [۲۴] قادری، م، فردین‌دوست، ز. و جیسون، ه (۱۳۸۴) مطالعه عناصر خاکی نادر در شلیل‌های ذخایر تنگستان جنوب غرب آستانه اراک، مجله بلورشناسی و کانی‌شناسی ایران، سال سیزدهم، شماره یک، ۳۷-۳۸
- [۲۵] کریم‌پور، ح (۱۳۸۱) کانی‌ها و سنگ‌های صنعتی. انتشارات دانشگاه فردوسی مشهد. ۳۹۷
- [۲۶] نبوی، م (۱۳۶۱) شرح نقشه زمین‌شناسی ورقه ۱:۱۰۰۰۰۰ سمنان سازمان زمین‌شناسی کشور.
- [۲۷] وهاب‌زاده، ق، خاکزاد، ا. رباء، ا . و موسوی م (۱۳۸۵) مطالعه میانوارهای سیال در کانسار فلوریت امافت. دهمین همایش انجمن زمین‌شناسی ایران، دانشگاه تربیت مدرس. ۶۷-۷۸
- [۲۸] یعقوب‌پور، ع (۱۳۸۰) کانی‌های خاک‌های کمیاب، مرکز نشر دانشگاهی. ۴۱۲ ص
- [۲۹] Bau, M., Romer, R.L., Luders, V (2003) Tracing element sources of hydrothermal mineral deposits; REE any distribution and Sr-N D-Pb isotopes in fluorite from MVT deposits in the pennine ore field: England. Mineralium. Deposita, 38: 992-1008.
- [۳۰] Bellanca. Disalvo, D., Neri, R., schly, F (1981) REE Earth and minor element distribution and petrographic features of fluorite and associated Mesozoic limestone of north western sicily: Chem. Geol, 79: 912-921
- [۳۱] Boynton, W.V (1984) Geochemistry of the rare earth elements:meteorite studies.In Henderson P.(ed), rare earth elements Geochemistry.Elsevier,pp.63-114
- [۳۲] Elderfield, H. and Greaves, M.J (1982) The rare earth elements in sea water. Nature. 296: 214-219
- [۳۳] Ellmies, R., K, Germann., M.T, krupenin., P.Moller,P (1999) The fluorite-Sellate deposits of suram Bashkir meganticline, Mineral Deposits (Processes to processing, Rotterdam, Balkana ,urals, 1203-1205